

68р-5014/1  
99г/12/9

(168)

62 Том 42, Номер 9 / 8

август  
Сентябрь 1997

ISSN 0033-8494

РОССИЙСКАЯ АКАДЕМИЯ НАУК

# РАДИОТЕХНИКА И ЭЛЕКТРОНИКА

Главный редактор  
Ю.В. Гуляев

МАИК "НАУКА"



"НАУКА"

## ОЦЕНКА ЧАСТОТНО-ВРЕМЕННЫХ ПАРАМЕТРОВ РАЗРЫВНОГО СЛУЧАЙНОГО ИМПУЛЬСА С НЕИЗВЕСТНОЙ ВЕЛИЧИННОЙ СПЕКТРАЛЬНОЙ ПЛОТНОСТИ

© 1997 г. А. П. Трифонов, А. В. Захаров, Е. В. Проняев

Поступила в редакцию 14.02.96 г.

Исследованы квазиправдоподобные и максимально правдоподобные совместные оценки временного положения, длительности, центральной частоты и ширины полосы частот, а также числа степеней свободы при наблюдении сигнала на фоне белого шума. Получены асимптотически точные выражения для характеристик оценок. Найден проигрыш в точности квазиправдоподобных оценок из-за незнания величины спектральной плотности сигнала.

### ВВЕДЕНИЕ

Под разрывным случайным импульсом будем понимать сигнал

$$s(t) = \xi(t)I[(t - \lambda_0)/\tau_0], \quad (1)$$

где  $I(x)$  – индикатор единичной длительности:  $I(x) = 1$  при  $|x| < 1/2$ ;  $I(x) = 0$  при  $|x| \geq 1/2$ ;  $\xi(t)$  – реализация стационарного центрированного гауссовского случайного процесса со спектральной плотностью

$$G(\omega, v_0, \Omega_0) = \frac{\gamma_0}{2} \left[ I\left(\frac{v_0 - \omega}{\Omega_0}\right) + I\left(\frac{v_0 + \omega}{\Omega_0}\right) \right], \quad (2)$$

$$v_0 > \frac{\Omega_0}{2}.$$

Здесь  $\gamma_0$  – величина спектральной плотности, параметры  $\lambda_0$  и  $\tau_0$  описывают положение и протяженность импульса (1) во времени, а параметры  $v_0$  и  $\Omega_0$  – положение и протяженность спектральной плотности (2) на оси частот. Полагаем, что выполняется условие широкополосности:

$$\mu_0 = \tau_0 \Omega_0 / 2\pi \gg 1, \quad (3)$$

т.е. время корреляции  $\tau_k = 2\pi/\Omega_0$  случайного процесса  $\xi(t)$  значительно меньше длительности  $\tau_0$  импульса (1). В этом случае параметры  $\lambda_0$  и  $v_0$  описывают положение, параметры  $\tau_0$  и  $\Omega_0$  – размеры области локализации импульса (1) на плоскости время–частота, а параметр  $\mu_0$  – число степеней свободы импульса (1), пропорциональное площади, занимаемой областью локализации. Модель (1), (2) разрывного случайного импульса широко используется в практических приложениях статистической радиофизики и радиотехники [1–3].

Пусть импульс (1) наблюдается в течение времени  $[0; T]$  на фоне аддитивного гауссовского белого шума  $n(t)$  с односторонней спектральной

плотностью  $N_0$ , поэтому обработка доступна реализация

$$x(t) = s(t) + n(t), \quad (4)$$

причем сигнал  $s(t)$  и шум  $n(t)$  статистически не зависимы. Величина  $\gamma_0$  спектральной плотности (2) априори не известна. Вектор частотно-временных параметров  $\vec{l}_0 = \|\lambda_0, \tau_0, v_0, \Omega_0\|$  импульса (1) также не известен и принимает значения из априорной области  $L$ , границы которой определяются неравенствами  $\Lambda_1 \leq \lambda_0 \leq \Lambda_2$ ,  $T_1 \leq \tau_0 \leq T_2$ ,  $U_1 \leq v_0 \leq U_2$ ,  $\Gamma_1 \leq \Omega_0 \leq \Gamma_2$ . Интервал наблюдения  $[0; T]$  выбираем так, что  $0 \leq \Lambda_1 - T_2/2 < \Lambda_2 + T_2/2 \leq T$ , т.е. импульс (1) всегда находится внутри интервала наблюдения.

Раздельные оценки частотно-временных параметров при неизвестной величине спектральной плотности  $\gamma$  исследованы в [4–7]. Так, в [4] найдены характеристики оценки параметра  $\lambda$ , в [5] –  $\tau$ , в [6] –  $v$  и в [7] –  $\Omega$ . Там же рассмотрены возможности однозначного определения раздельных оценок частотно-временных параметров.

Ниже исследованы алгоритмы совместных оценок частотно-временных параметров импульса (1) и получены асимптотические выражения для характеристик оценок.

### 1. КВАЗИПРАВДОПОДОБНЫЕ ОЦЕНКИ ЧАСТОТНО-ВРЕМЕННЫХ ПАРАМЕТРОВ РАЗРЫВНОГО СЛУЧАЙНОГО ИМПУЛЬСА

Для синтеза алгоритма оценок воспользуемся методом максимального правдоподобия [2, 8]. Согласно этому методу запишем логарифм функционала отношения правдоподобия (ФОП)  $M_0(\vec{l})$  наблюдаемой реализации (4) как функцию вектора  $\vec{l} = \|\lambda, \tau, v, \Omega\|$  возможных значений частотно-

временных параметров  $\vec{l}_0 = \|\lambda_0, \tau_0, v_0, \Omega_0\|$  для всех  $\vec{l} \in L$  [3, 9]:

$$M_0(\vec{l}) = M(\lambda, \tau, v, \Omega, q_0) = \quad (5)$$

$$= q_0 M_{\gamma_1}(\vec{l}) / (1 + q_0) - \mu \ln(1 + q_0),$$

$$M_{\gamma_1}(\vec{l}) = \int_{\lambda - \tau/2}^{\lambda + \tau/2} y^2(t, v, \Omega) dt / N_0, \quad \mu = \tau \Omega / 2\pi,$$

где  $q_0 = \gamma_0 / N_0$ ,  $y(t, v, \Omega) = \int_{-\infty}^t x(t') H(t - t') dt'$  – отклик фильтра с импульсной переходной функцией  $H(t)$  на реализацию  $x(t)$  (4), причем передаточная функция  $h(\omega)$  фильтра удовлетворяет условию  $|h(\omega)|^2 = I[(v - \omega)/\Omega] + I[(v + \omega)/\Omega]$ . Тогда при известной величине  $\gamma_0$  оценку максимального правдоподобия (ОМП)  $\vec{l}_{m0} = \|\lambda_{m0}, \tau_{m0}, v_{m0}, \Omega_{m0}\|$  вектора параметров  $\vec{l}_0$  запишем как

$$\vec{l}_{m0} = \arg \sup M_0(\vec{l}), \quad \vec{l} \in L. \quad (6)$$

При неизвестной величине  $\gamma_0$  будем использовать квазивероятностную оценку (КПО)  $\vec{l}_q = \|\lambda_q, \tau_q, v_q, \Omega_q\|$  вектора параметров  $\vec{l}_0$ , которая в отличие от (6) определяется выражением

$$\vec{l}_q = \arg \sup M^*(\vec{l}), \quad \vec{l} \in L, \quad (7)$$

$$M^*(\vec{l}) = M(\lambda, \tau, v, \Omega, q^*), \quad q^* = \gamma^*/N_0, \quad (8)$$

где  $\gamma^*$  – ожидаемое (прогнозируемое) значение неизвестной величины  $\gamma_0$  спектральной плотности (2), причем в общем случае  $\gamma^* \neq \gamma_0$ . На основе КПО  $\vec{l}_q$  (7) вектора параметров  $\vec{l}_0$  согласно (3) можно сформировать квазивероятностную оценку  $\mu_q$  числа степеней свободы  $\mu_0$  импульса (1):

$$\mu_q = \tau_q \Omega_q / 2\pi. \quad (9)$$

При  $\gamma^* = \gamma_0$  КПО  $\vec{l}_q$  (7) и  $\mu_q$  (9) переходят в ОМП  $\vec{l}_{m0}$  (6) и  $\mu_{m0} = \tau_{m0} \Omega_{m0} / 2\pi$  соответственно.

Для нахождения характеристик КПО (7), (9) исследуем поведение функционала  $M^*(\vec{l})$  (8). Принимая во внимание асимптотически (при  $\mu_0 \rightarrow \infty$ ) гауссовский характер функционала  $M^*(\vec{l})$  (8) [1, 3, 8], ограничимся рассмотрением первых двух его моментов. Для этого представим функционал (8) в виде суммы:  $M^*(\vec{l}) = S^*(\vec{l}) + N^*(\vec{l})$ , где  $S^*(\vec{l}) = \langle M^*(\vec{l}) \rangle$  – сигнальная,  $N^*(\vec{l}) = M^*(\vec{l}) - \langle M^*(\vec{l}) \rangle$  –

шумовая функция, усреднение выполняется по реализациям процесса  $x(t)$  при фиксированном  $\vec{l}_0$ . Аналогично [9] будем полагать, что ошибки оценивания временных параметров ( $\lambda_0, \tau_0$ ) существенно больше времени корреляции процесса  $\xi(t)$ , а ошибки оценивания частотных параметров ( $v_0, \Omega_0$ ) существенно больше величины  $2\pi/\tau_0$ . Это имеет место, когда значение  $q_0$  не слишком велико. Тогда при выполнении (3) для сигнальной функции получаем

$$S^*(\vec{l}) = S^*(\lambda, \tau, v, \Omega) = A_1 C(\lambda, \lambda, \lambda_0, \tau, \tau, \tau_0) \times \quad (10)$$

$$\times C(v, v, v_0, \Omega, \Omega, \Omega_0) / \tau_0 \Omega_0 - A_2 \tau \Omega / \tau_0 \Omega_0,$$

$$A_1 = \mu_0 q_0 q^* / (1 + q^*),$$

$$A_2 = \mu_0 [\ln(1 + q^*) - q^* / (1 + q^*)],$$

$$C(t_1, t_2, t_0, u_1, u_2, u_0) =$$

$$= \max[0; \min(t_1 + u_1/2, t_2 + u_2/2, t_0 + u_0/2) -$$

$$- \max(t_1 - u_1/2, t_2 - u_2/2, t_0 - u_0/2)],$$

а первые два момента шумовой функции запишем в виде

$$\langle N^*(\vec{l}) \rangle = 0,$$

$$B^*(\vec{l}_1, \vec{l}_2) = B^*(\lambda_1, \lambda_2, \tau_1, \tau_2, v_1, v_2, \Omega_1, \Omega_2) =$$

$$= \langle N^*(\vec{l}_1) N^*(\vec{l}_2) \rangle = D_1 C(\lambda_1, \lambda_2, \lambda_0, \tau_1, \tau_2, \tau_0) \times$$

$$\times C(v_1, v_2, v_0, \Omega_1, \Omega_2, \Omega_0) / \tau_0 \Omega_0 + \quad (11)$$

$$+ D_2 C(\lambda_1, \lambda_1, \lambda_2, \tau_1, \tau_1, \tau_2) \times$$

$$\times C(v_1, v_1, v_2, \Omega_1, \Omega_1, \Omega_2) / \tau_0 \Omega_0,$$

$$D_1 = \mu_0 q^{*2} q_0 (2 + q_0) / (1 + q^*)^2,$$

$$D_2 = \mu_0 q^{*2} / (1 + q^*)^2,$$

где  $\vec{l}_k = \|\lambda_k, \tau_k, v_k, \Omega_k\|$ ,  $k = 1, 2$ . Из (10) следует, что форма сигнальной функции зависит от соотношения между значениями  $\gamma^*$  и  $\gamma_0$ . Нетрудно убедиться, что сигнальная функция  $S^*(\vec{l})$  (10) достигает наибольшего максимума при  $\vec{l} = \vec{l}_0$ , если

$$f(q^*, q_0) = q^*(1 + q_0) / (1 + q^*) - \ln(1 + q^*) > 0. \quad (12)$$

Это неравенство налагает ограничения на область значений величины  $\gamma_0$  спектральной плотности (2) принимаемого сигнала при фиксированном значении  $\gamma^*$  и может быть интерпретировано как условие работоспособности алгоритма КПО (7). Очевидно, что при  $\gamma^* = \gamma_0$  условие (12) выполняется. Граница работоспособности алгоритма

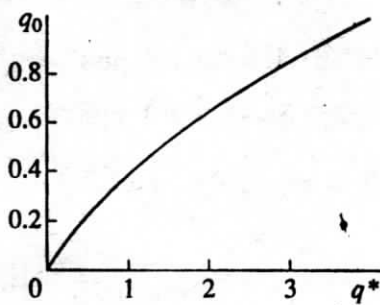


Рис. 1. Граница области работоспособности алгоритма КПО.

КПО (7), определяемая условием  $f(q^*, q_0) = 0$ , показана на рис. 1. Если величина  $q_0$  такова, что при выбранном значении  $q^*$  точка с координатами  $(q^*, q_0)$  лежит на кривой  $f(q^*, q_0) = 0$  или ниже, то алгоритм КПО (7) использовать нельзя.

Полагаем далее, что условие (12) выполняется. Переходим от рассмотрения параметров  $\lambda_0, \tau_0, v_0, \Omega_0$ , определяющих положение и размеры области локализации импульса (1) на плоскости время-частота, к параметрам

$$\begin{aligned} \theta_{01} &= \lambda_0 - \tau_0/2, & \theta_{02} &= \lambda_0 + \tau_0/2, \\ \theta_{03} &= v_0 - \Omega_0/2, & \theta_{04} &= v_0 + \Omega_0/2, \end{aligned} \quad (13)$$

определяющим границы области локализации. Обозначим  $\theta_1 = \lambda - \tau/2, \theta_2 = \lambda + \tau/2, \theta_3 = v - \Omega/2, \theta_4 = v + \Omega/2, \theta_{1i} = \lambda_i - \tau_i/2, \theta_{2i} = \lambda_i + \tau_i/2, \theta_{3i} = v_i - \Omega_i/2, \theta_{4i} = v_i + \Omega_i/2, i = 1, 2$ . Введем в рассмотрение нормированные границы  $\vartheta_k = \theta_k/\theta_0, \vartheta_n = \theta_n/\Omega_0, \vartheta_{ik} = \theta_{ik}/\theta_0, \vartheta_{in} = \theta_{in}/\Omega_0, k = 1, 2, n = 3, 4, i = 1, 2$ . Тогда, согласно (10), (11), в малой окрестности точки  $\vec{l}_0$ , когда  $\max(|\lambda - \lambda_0|/\tau_0, |\tau - \tau_0|/\tau_0, |v - v_0|/\Omega_0, |\Omega - \Omega_0|/\Omega_0, |\lambda_k - \lambda_0|/\tau_0, |\tau_k - \tau_0|/\tau_0, |v_k - v_0|/\Omega_0, |\Omega_k - \Omega_0|/\Omega_0) \leq \delta, k = 1, 2$  и  $\delta \rightarrow 0$ , получаем

$$S^*(\vec{l}) = \sum_{i=1}^4 S_i(\vartheta_i) - 3S^*(\vec{l}_0) + o(\delta), \quad (14)$$

$$B^*(\vec{l}_1, \vec{l}_2) = \sum_{i=1}^4 B_i(\vartheta_{1i}, \vartheta_{2i}) - 3B^*(\vec{l}_0, \vec{l}_0) + o(\delta),$$

где

$$S_i(\vartheta_i) = A_1 C_j(\vartheta_{0i}, \vartheta_{ni}, \vartheta_i) - A_2 C_j(\vartheta_{bi}, \vartheta_{ni}, \vartheta_i), \quad (15)$$

$$i = \overline{1, 4},$$

$$B_i(\vartheta_{1i}, \vartheta_{2i}) = D_1 C_j(\vartheta_{0i}, \vartheta_{1i}, \vartheta_{2i}) + \quad (16)$$

$$+ D_2 C_j(\vartheta_{1i}, \vartheta_{2i}, \vartheta_{2i}),$$

$$C_j(t_1, t_2, t_3) = \min(|\vartheta_{0j} - t_1|, |\vartheta_{0j} - t_2|, |\vartheta_{0j} - t_3|),$$

$j = J(i)$ , где  $J(i) = i + 1$  при  $i = 1, 3$ , и  $J(i) = i - 1$  при  $i = 2, 4$ . Следовательно, при  $\delta \rightarrow 0$  и  $\mu_0 \rightarrow \infty$

функционал  $M^*(\vec{l})$  (8) с учетом его асимптотически гауссовского характера можно представить в виде

$$M^*(\vec{l}) + m_0 \approx \sum_{i=1}^4 M_i(\vartheta_i), \quad (17)$$

где  $m_0$  — гауссовская случайная величина с математическим ожиданием  $3S^*(\vec{l}_0)$  и дисперсией  $3B^*(\vec{l}_0, \vec{l}_0)$ , причем  $m_0$  и  $M^*(\vec{l})$  статистически не зависимы, а  $M_i(\vartheta_i)$  — взаимно статистически не зависимые гауссовские случайные процессы с математическими ожиданиями  $S_i(\vartheta_i)$  (15) и корреляционными функциями  $B_i(\vartheta_{1i}, \vartheta_{2i})$  (16). Таким образом, в малой окрестности точки  $\vec{l}_0$  функционал (8) может быть представлен в виде (17), причем точность аппроксимации (17) возрастает с увеличением  $\mu_0$  (3) и с уменьшением  $\delta$ .

## 2. ХАРАКТЕРИСТИКИ КВАЗИПРАВДОПОДОБНЫХ ОЦЕНОК ЧАСТОТНО-ВРЕМЕННЫХ ПАРАМЕТРОВ СЛУЧАЙНОГО ИМПУЛЬСА

Процедуру нахождения характеристик совместных КПО  $\vec{l}_q$  (7) можно существенно упростить, если перейти к рассмотрению совместных КПО  $\vec{\theta}_q = \|\theta_{1q}, \theta_{2q}, \theta_{3q}, \theta_{4q}\|$  вектора параметров  $\vec{\theta}_0 = \|\theta_{01}, \theta_{02}, \theta_{03}, \theta_{04}\|$ , определяющих границы (13) области частотно-временной локализации импульса (1). Согласно (13),  $\theta_{1q} = \lambda_q - \tau_q/2, \theta_{2q} = \lambda_q + \tau_q/2, \theta_{3q} = v_q - \Omega_q/2, \theta_{4q} = v_q + \Omega_q/2$ . С учетом (7) КПО  $\vec{\theta}_q$  запишем в виде

$$\vec{\theta}_q = \arg \sup_{\vec{\theta}} M^*(\vec{l}), \quad \vec{\theta} = \|\theta_1, \theta_2, \theta_3, \theta_4\|. \quad (18)$$

Определим характеристики КПО  $\vec{\theta}_q$  (18). Учитем, что в соответствии с (10) при выполнении условия (12) сигнальная функция  $S^*(\vec{l})$  достигает наибольшего максимума при  $\vec{l} = \vec{l}_0 (\vec{\theta} = \vec{\theta}_0)$ , а реализации шумовой функции  $N^*(\vec{l})$  непрерывны с вероятностью 1. Полагаем, что наряду с (3), (12) выполняется условие

$$\begin{aligned} z^2 &= S^{*2}(\vec{l}_0)/\langle N^{*2}(\vec{l}_0) \rangle = \\ &= \mu_0 [q^* - (1 + q^*) \ln(1 + q^*)/(1 + q_0)]^2 / q^{*2} \gg 1, \end{aligned} \quad (19)$$

обеспечивающее совместно с (3), (12) высокую апостериорную точность оценок. Тогда КПО  $\vec{\theta}_q$  (18) лежит в малой окрестности точки  $\vec{\theta} = \vec{\theta}_0$ , а при  $z \rightarrow \infty$  КПО  $\vec{\theta}_q$  сходится к  $\vec{\theta}_0$  в среднеквадратическом. Предположим, что величина  $z^2$  (19) настолько велика, что для нахождения распределения КПО (18) достаточно ограничиться анализом функционала (8) на интервалах  $\theta_i \in [\theta_{0i} - \zeta_i; \theta_{0i} + \zeta_i]$ , где величины  $\zeta_i$  настолько малы, что для функционала (8) справедливы аппроксимации (14), (17).

Рассмотрим нормированные оценки  $\vartheta_{kq} = \theta_{kq}/\tau_0$ ,  $\vartheta_{nq} = \theta_{nq}/\Omega_0$ ,  $k = 1, 2$ ,  $n = 3, 4$ . Согласно (17), (18),

$$\begin{aligned} \vartheta_{iq} &= \arg \sup M_i(\vartheta_i), \\ \vartheta_i &\in [\vartheta_{0i} - \varepsilon_i; \vartheta_{0i} + \varepsilon_i], \quad i = \overline{1, 4}, \end{aligned} \quad (20)$$

где  $\varepsilon_k = \zeta_k/\tau_0$ ,  $\varepsilon_n = \zeta_n/\Omega_0$ ,  $k = 1, 2$ ,  $n = 3, 4$ , причем в силу взаимной статистической независимости случайных процессов  $M_i(\vartheta_i)$  оценки (20) статистически не зависимы.

Найдем выражения для характеристик оценок  $\vartheta_{iq}$  (20),  $i = \overline{1, 4}$ . С этой целью введем в рассмотрение случайные процессы

$$\begin{aligned} \Delta_i(t) &= M_i(t) - M_i(\kappa_i), \\ \kappa_i, t &\in [\vartheta_{0i} - \varepsilon_i; \vartheta_{0i} + \varepsilon_i], \quad i = \overline{1, 4}, \end{aligned} \quad (21)$$

где  $\kappa_i$  – фиксированная величина. Используя (15), (16) и теорему Дуба [10] в формулировке [11], можно показать, что случайные процессы  $\Delta_i(t)$  (21) на интервалах  $[\vartheta_{0i} - \varepsilon_i; \kappa_i]$  и  $(\kappa_i; \vartheta_{0i} + \varepsilon_i]$  статистически не зависимы и являются гауссовскими марковскими процессами диффузионного типа [10]. Согласно [3], коэффициенты сноса  $K_{1i}$  и диффузии  $K_{2i}$  процессов  $\Delta_i(t)$  при  $t > \kappa_i$  имеют следующий вид:

$$\begin{aligned} K_{1i} &= \begin{cases} -a_i & \text{при } t \geq \vartheta_{0i}, \\ a_j & \text{при } t < \vartheta_{0i}, \end{cases} \\ K_{2i} &= \begin{cases} d_i & \text{при } t \geq \vartheta_{0i}, \\ d_j & \text{при } t < \vartheta_{0i}, \end{cases} \quad i = \overline{1, 4}, \end{aligned} \quad (22)$$

где  $a_1 = a_3 = A_1 - A_2 = \mu_0[q^*(1 + q_0)/(1 + q^*) - \ln(1 + q^*)]$ ,  $a_2 = a_4 = A_2$ ,  $d_1 = d_3 = D_1 + D_2 = \mu_0 q^{*2}(1 + q_0)^2/(1 + q^*)^2$ ,  $d_2 = d_4 = D_2$ ,  $j = J(i)$ . Тогда, применяя метод локально-марковской аппроксимации [12, 13], можно найти асимптотические аппроксимации для плотностей вероятности  $W_i(\vartheta_i)$  оценок  $\vartheta_{iq}$  (20). Решая уравнения Фоккера–Планка–Колмогорова [10] с коэффициентами (22) при соответ-

ствующих начальных и граничных условиях, получаем

$$\begin{aligned} W_i(\vartheta_i) &= \\ &= \begin{cases} 2z_j^2 W[2z_j^2(\vartheta_{0i} - \vartheta_i), R_i] & \text{при } -\infty < \vartheta_i < \vartheta_{0i}, \\ 2z_i^2 W[2z_i^2(\vartheta_i - \vartheta_{0i}), R_j] & \text{при } \vartheta_{0i} \leq \vartheta_i < \infty, \end{cases} \quad (23) \\ W(x, u) &= \Phi(\sqrt{|x|/2}) - 1 + \frac{2+u}{u} \exp\left(|x|\frac{1+u}{u^2}\right) \times \\ &\times \left[1 - \Phi\left(\sqrt{|x|/2}\left[\frac{2+u}{u}\right]\right)\right], \\ z_1^2 &= z_3^2 = a_1^2/d_1 = \\ &= \mu_0[q^* - (1+q^*)\ln(1+q^*)/(1+q_0)]^2/q^{*2} = z^2, \\ z_2^2 &= z_4^2 = a_2^2/d_2 = \mu_0[(1+q^*)\ln(1+q^*) - q^*]^2/q^{*2}, \\ R_1 &= R_3 = a_2 d_1 / a_1 d_2 = \\ &= [\ln(1+q^*) - q^*/(1+q^*)](1+q_0)^2 \times \\ &\times [q^*(1+q_0)/(1+q^*) - \ln(1+q^*)]^{-1} = R, \\ R_2 &= R_4 = 1/R, \end{aligned}$$

где  $\Phi(x) = \int_{-\infty}^x \exp(-t^2/2) dt / \sqrt{2\pi}$  – интеграл вероятности [8],  $j = J(i)$ ,  $i = \overline{1, 4}$ . Из (23) следует существенно негауссовский характер распределений оценок (20) даже при больших отношениях сигнал/шум (19). Точность аппроксимации (23) возрастает с увеличением  $\mu_0$  и  $z^2$ .

Используя (23), находим выражения для смещений  $b_i$  и рассеяний  $V_i$  оценок  $\vartheta_{iq}$ :

$$b_i = \langle \vartheta_{iq} - \vartheta_{0i} \rangle = (-1)^i \frac{z_1^2(2R+1) - z_2^2 R(R+2)}{2z_1^2 z_2^2 (R+1)^2} \quad (24)$$

$$i = \overline{1, 4},$$

$$\begin{aligned} V_i &= \langle (\vartheta_{iq} - \vartheta_{0i})^2 \rangle = \\ &= \frac{z_1^4(5R^2 + 6R + 2) + z_2^4 R(2R^2 + 6R + 5)}{2z_1^4 z_2^4 (1+R)^3}. \end{aligned}$$

Согласно (13), КПО  $\vec{l}_q$  (7) и  $\vec{\theta}_q$  (18) связаны линейными соотношениями  $\lambda_q = (\theta_{1q} + \theta_{2q})/2$ ,  $\tau_q = \theta_{2q} - \theta_{1q}$ ,  $v_q = (\theta_{3q} + \theta_{4q})/2$ ,  $\Omega_q = \theta_{4q} - \theta_{3q}$ . Кроме того, при выполнении (3), (19) оценки  $\theta_{iq}$  (18) приближенно статистически не зависимы. Поэтому, используя (24), нетрудно записать выражения для нормированных смещений и рассеяний КПО  $\vec{l}_q$  (7):

$$b_p = \langle \lambda_q - \lambda_0 \rangle / \tau_0 = \langle v_q - v_0 \rangle / \Omega_0 = 0,$$

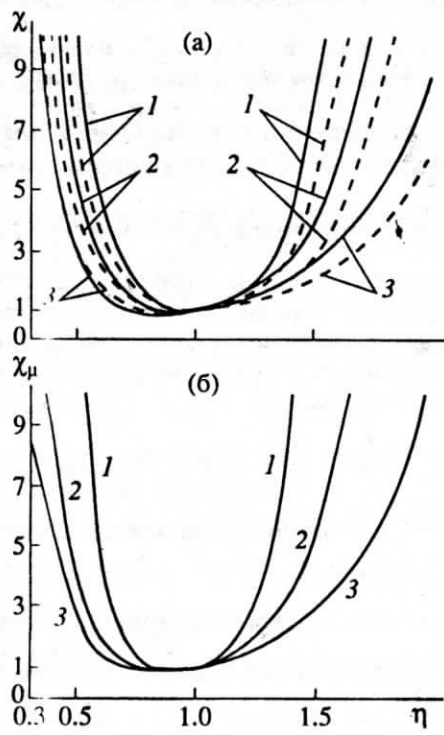


Рис. 2. Потери в точности КПО по сравнению с ОМП.

$$\begin{aligned}
 b_d &= \langle \tau_q - \tau_0 \rangle / \tau_0 = \langle \Omega_q - \Omega_0 \rangle / \Omega_0 = -2b_1 = \\
 &= [z_1^2(2R+1) - z_2^2R(R+2)]/[z_1z_2(R+1)]^2, \\
 V_p &= \langle (\lambda_q - \lambda_0)^2 \rangle / \tau_0^2 = \langle (v_q - v_0)^2 \rangle / \Omega_0^2 = \\
 &= (V_1 + b_1^2)/2 = 2\{z_1^4[(1+2R)^3 + 2(1+R)^3] + \\
 &\quad + z_2^4R[(2+R)^3 + 2(1+R)^3] + \\
 &\quad + 2z_1^2z_2^2R(2+5R+2R^2)\}/[2z_1z_2(1+R)]^4, \\
 V_d &= \langle (\tau_q - \tau_0)^2 \rangle / \tau_0^2 = \langle (\Omega_q - \Omega_0)^2 \rangle / \Omega_0^2 = \\
 &= 2(V_1 - b_1^2) = 8\{z_1^4[(1+2R)^2(3+2R) + 2(1+R)^3] + \\
 &\quad + z_2^4R[(2+R)^2(2+3R) + 2(1+R)^3] - \\
 &\quad - 2z_1^2z_2^2R(2+5R+2R^2)\}/[2z_1z_2(1+R)]^4,
 \end{aligned} \tag{25}$$

где  $z_1, z_2, R$  определяются из (23). При этом оценки  $\lambda_q$  и  $\tau_q$  приближенно не зависят от оценок  $v_q$  и  $\Omega_q$  и наоборот. Используя приближенную статистическую независимость оценок  $\tau_q$  и  $\Omega_q$ , получаем выражения для нормированных смещений и рассеяний КПО  $\mu_q$  (9):

$$\begin{aligned}
 b_\mu &= \langle \mu_q - \mu_0 \rangle / \mu_0 = b_d^2 + 2b_d, \\
 V_\mu &= \langle (\mu_q - \mu_0)^2 \rangle / \mu_0^2 = V_d^2 + 2V_d + 4b_dV_d + 2b_d^2.
 \end{aligned} \tag{26}$$

Полагая в (25), (26)  $\gamma^* = \gamma_0$ , получаем как частный случай нормированные смещения  $b_{0d} = \langle \tau_{m0} - \tau_0 \rangle / \tau_0 = \langle \Omega_{m0} - \Omega_0 \rangle / \Omega_0$ ,  $b_{0p} = \langle \lambda_{m0} - \lambda_0 \rangle / \tau_0 = \langle v_{m0} - v_0 \rangle / \Omega_0$ ,  $b_{0\mu} = \langle \mu_{m0} - \mu_0 \rangle / \mu_0$  и рассеяния  $V_{0d} = \langle (\tau_{m0} - \tau_0)^2 \rangle / \tau_0^2 = \langle (\Omega_{m0} - \Omega_0)^2 \rangle / \Omega_0^2$ ,  $V_{0p} = \langle (\lambda_{m0} - \lambda_0)^2 \rangle / \tau_0^2 = \langle (v_{m0} - v_0)^2 \rangle / \Omega_0^2$ ,  $V_{0\mu} = \langle (\mu_{m0} - \mu_0)^2 \rangle / \mu_0^2$  ОМП  $\vec{l}_{m0}$  (6) и  $\mu_{m0} = \tau_{m0}\Omega_{m0}/2\pi$  при априори известной величине  $\gamma_0$  спектральной плотности (2).

Отметим, что формулы (24)–(26) получены при выполнении условий (3), (12), (19) и точность этих формул возрастает с увеличением  $\mu_0$  и  $z^2$ .

Выражения (25), (26) позволяют оценить влияние отклонений величины  $\gamma^*$  от  $\gamma_0$  на точность КПО (7), (9). Введем в рассмотрение отношения  $\chi_d = V_d/V_{0d}$ ,  $\chi_p = V_p/V_{0p}$ ,  $\chi_\mu = V_\mu/V_{0\mu}$  нормированных рассеяний КПО к соответствующим рассеяниям ОМП. На рис. 2а показаны зависимости отношений  $\chi_d$  (сплошные кривые) и  $\chi_p$  (штриховые кривые), а на рис. 2б – зависимость отношения  $\chi_\mu$  от величины  $\eta = \gamma^*/\gamma_0$ . На рис. 2а кривые 1–3 соответствуют  $q_0 = 0.1; 0.5; 1$ ; на рис. 2б кривые 1–3 соответствуют  $q_0 = 0.2; 0.5; 1$ . Из рис. 2 следует, что при отклонении величины  $\gamma^*$  от  $\gamma_0$  характеристики КПО (7), (9) могут существенно ухудшаться, причем с уменьшением  $q_0$  КПО (7), (9) оказываются более критичными к выбору величины  $\gamma^*$ .

### 3. ОЦЕНКИ МАКСИМАЛЬНОГО ПРАВДОПОДОБИЯ ЧАСТОТНО-ВРЕМЕННЫХ ПАРАМЕТРОВ РАЗРЫВНОГО СЛУЧАЙНОГО ИМПУЛЬСА

Повысить точность оценок частотно-временных параметров случайного импульса (1) можно, если в (7), (8) заменить ожидаемое значение  $\gamma^*$  параметра  $\gamma_0$  на его ОМП. В этом случае, согласно [2, 8, 13], совместные ОМП  $\vec{l}_m = \|\lambda_m, \tau_m, v_m, \Omega_m\|$  вектора параметров  $\vec{l}_0$  запишем как

$$\vec{l}_m = \arg \sup_{\gamma} M_\gamma(\vec{l}), \quad \vec{l} \in L, \tag{27}$$

$$M_\gamma(\vec{l}) = \sup_{\gamma} M(\lambda, \tau, v, \Omega, q), \quad q = \gamma/N_0.$$

Максимизируя функционал  $M(\lambda, \tau, v, \Omega, q)$  (5) по  $\gamma$ , получаем

$$M_\gamma(\vec{l}) = M_{\gamma l}(\vec{l}) - \mu \{1 + \ln[M_{\gamma l}(\vec{l})/\mu]\}, \quad (28)$$

$$\mu = \tau\Omega/2\pi,$$

где  $M_{\gamma l}(\vec{l})$  определяется из (5). Согласно (3), соответствующую ОМП  $\mu_m$  параметра  $\mu_0$  запишем в виде

$$\mu_m = \tau_m\Omega_m/2\pi. \tag{29}$$

Для нахождения характеристик ОМП (27), (29) исследуем поведение функционала  $M_\gamma(\vec{l})$  (28). Для этого введем нормированный функционал  $M_{\gamma 2}(\vec{l}) = M_{\gamma 1}(\vec{l})/\mu$ . Обозначим  $S_{\gamma 2}(\vec{l}) = \langle M_{\gamma 2}(\vec{l}) \rangle$  регулярную,  $N_{\gamma 2}(\vec{l}) = M_{\gamma 2}(\vec{l}) - \langle M_{\gamma 2}(\vec{l}) \rangle$  шумовую составляющую функционала  $M_{\gamma 2}(\vec{l})$ , а  $N_{\gamma 3}(\vec{l}) = \mu_0^{1/2} N_{\gamma 2}(\vec{l})$ , и перепишем функционал (28) в виде

$$M_\gamma(\vec{l}) = \mu \{ S_{\gamma 2}(\vec{l}) - 1 + \varepsilon N_{\gamma 3}(\vec{l}) - \ln [S_{\gamma 2}(\vec{l}) + \varepsilon N_{\gamma 3}(\vec{l})] \}, \quad (30)$$

где  $\varepsilon = 1/\sqrt{\mu_0}$ . Аналогично (10), (11) при выполнении (3) получаем

$$\begin{aligned} S_{\gamma 2}(\vec{l}) &= 1 + q_0 C(\lambda, \lambda, \lambda_0, \tau, \tau, \tau_0) \times \\ &\times C(v, v, v_0, \Omega, \Omega, \Omega_0) / \tau \Omega, \\ \langle N_{\gamma 3}(\vec{l}_1) N_{\gamma 3}(\vec{l}_2) \rangle &= (\mu_0^2 / \mu_1 \mu_2) [q_0 (2 + q_0) \times \quad (31) \\ &\times C(\lambda_1, \lambda_2, \lambda_0, \tau_1, \tau_2, \tau_0) C(v_1, v_2, v_0, \Omega_1, \Omega_2, \Omega_0) + \\ &+ C(\lambda_1, \lambda_1, \lambda_2, \tau_1, \tau_1, \tau_2) \times \\ &\times C(v_1, v_1, v_2, \Omega_1, \Omega_1, \Omega_2) / \tau_0 \Omega_0, \end{aligned}$$

где  $\mu_i = \tau_i \Omega_i / 2\pi$ ,  $i = 1, 2$ . Полагаем, что величина  $q_0$  ограничена сверху, поэтому дисперсия нормированной шумовой составляющей  $N_{\gamma 3}(\vec{l})$ , согласно (31), ограничена при любых  $\mu_0$  (3). В силу (3)

$$\varepsilon = 1/\sqrt{\mu_0} \ll 1. \quad (32)$$

Кроме того, согласно (31),  $S_{\gamma 2}(\vec{l}) \neq 0$ . Разложим функционал (30) в ряд Маклорена по степеням  $\varepsilon$  и ограничимся членами, содержащими  $\varepsilon$  в степени, не выше первой. Тогда

$$\begin{aligned} M_\gamma(\vec{l}) &= \mu \{ S_{\gamma 2}(\vec{l}) - 1 - \ln [S_{\gamma 2}(\vec{l})] + \quad (33) \\ &+ \varepsilon N_{\gamma 3}(\vec{l}) [S_{\gamma 2}(\vec{l}) - 1] / S_{\gamma 2}(\vec{l}) \}. \end{aligned}$$

Представим функционал  $M_\gamma(\vec{l})$  (28) в виде суммы  $M_\gamma(\vec{l}) = S_\gamma(\vec{l}) + N_\gamma(\vec{l})$  сигнальной  $S_\gamma(\vec{l}) = \langle M_\gamma(\vec{l}) \rangle$  и шумовой  $N_\gamma(\vec{l}) = M_\gamma(\vec{l}) - \langle M_\gamma(\vec{l}) \rangle$  функций. Согласно (33), при выполнении (3), (32)

$$\begin{aligned} S_\gamma(\vec{l}) &= \mu \{ S_{\gamma 2}(\vec{l}) - 1 - \ln [S_{\gamma 2}(\vec{l})] \}, \quad (34) \\ N_\gamma(\vec{l}) &= \mu N_{\gamma 2}(\vec{l}) [S_{\gamma 2}(\vec{l}) - 1] / S_{\gamma 2}(\vec{l}). \end{aligned}$$

Из (31), (34) следует, что сигнальная функция  $S_\gamma(\vec{l})$  достигает наибольшего максимума при  $\vec{l} = \vec{l}_0$ . Кроме того, в силу асимптотически (при  $\mu_0 \rightarrow \infty$ ) гауссовского характера функционала  $M_\gamma(\vec{l})$  (5) шумовая функция  $N_\gamma(\vec{l})$  является реализацией асимптотически гауссовского случайного поля.

Исследуем поведение функционала (28) в малой окрестности точки  $\vec{l}_0$ . Принимая во внимание асимптотически гауссовский характер функционала (28), ограничимся рассмотрением первых двух его моментов. Из (31), (34) получаем, что при  $\delta \rightarrow 0$

$$S_\gamma(\vec{l}) = S_0(\vec{l}) + o(\delta^p), \quad p \geq 1, \quad (35)$$

где  $S_0(\vec{l}) = \langle M_0(\vec{l}) \rangle$  – сигнальная составляющая логарифма ФОП  $M_0(\vec{l})$  (5).

Аналогично для корреляционной функции приращений шумовой функции  $N_\gamma(\vec{l})$  (34) при  $\delta \rightarrow 0$  получаем

$$\begin{aligned} \langle [N_\gamma(\vec{l}_1) - N_\gamma(\vec{l}^*)][N_\gamma(\vec{l}_2) - N_\gamma(\vec{l}^*)] \rangle &= \\ = \langle [N_0(\vec{l}_1) - N_0(\vec{l}^*)][N_0(\vec{l}_2) - N_0(\vec{l}^*)] \rangle &+ o(\delta^p), \quad (36) \\ p \geq 1, \end{aligned}$$

где  $N_0(\vec{l}) = M_0(\vec{l}) - \langle M_0(\vec{l}) \rangle$  – шумовая составляющая логарифма ФОП (5),  $\vec{l}^*$  – фиксированное значение вектора оцениваемых параметров. Отметим, что моменты  $S_0(\vec{l})$  и  $\langle N_0(\vec{l}_1) N_0(\vec{l}_2) \rangle$  функционала  $M_0(\vec{l})$  совпадают с моментами  $S^*(\vec{l})$  (10) и  $\langle N^*(\vec{l}_1) N^*(\vec{l}_2) \rangle$  (11) соответственно, если в (10), (11) полагать  $\gamma^* = \gamma_0$ .

Как следует из (34), сигнальная функция  $S_\gamma(\vec{l})$  достигает наибольшего максимума при  $\vec{l} = \vec{l}_0$ , а реализации шумовой функции  $N_\gamma(\vec{l})$  непрерывны с вероятностью 1. Предположим, что кроме (3) выполняется условие

$$\begin{aligned} z_\gamma^2 &= S_\gamma^2(\vec{l}_0) / \langle N_\gamma^2(\vec{l}_0) \rangle = \\ &= \mu_0 [q_0 - \ln(1 + q_0)]^2 / q_0^2 \gg 1, \quad (37) \end{aligned}$$

которое совпадает с условием (19) при  $\gamma^* = \gamma_0$  и является условием высокой апостериорной точности ОМП  $\vec{l}_m$  (27). Тогда ОМП  $\vec{l}_m$  лежит в малой ок-

рестности точки  $\vec{l}_0$ . Полагаем, что величина  $z_\gamma$  (37) настолько велика, что величина этой окрестности не превышает  $\delta$ , так что согласно (35), (36) первые два момента приращений функционала  $M_\gamma(\vec{l})$  приближенно совпадают с соответствующими моментами приращений функционала  $M_0(\vec{l})$  (5). Тогда с учетом асимптотически гауссского характера функционалов  $M_\gamma(\vec{l})$  и  $M_0(\vec{l})$  характеристики ОМП  $\vec{l}_m$  (27) приближенно совпадают с характеристиками ОМП  $\vec{l}_{m0}$  (6). В частности, нормированные смещения  $b_{mp} = (\lambda_m - \lambda_0)/\tau_0 = \langle v_m - v_0 \rangle / \Omega_0$  и  $b_{md} = (\tau_m - \tau_0)/\tau_0 = \langle \Omega_m - \Omega_0 \rangle / \Omega_0$ , а также рассеяния  $V_{mp} = \langle (\lambda_m - \lambda_0)^2 \rangle / \tau_0^2 = \langle (v_m - v_0)^2 \rangle / \Omega_0^2$  и  $V_{md} = \langle (\tau_m - \tau_0)^2 \rangle / \tau_0^2 = \langle (\Omega_m - \Omega_0)^2 \rangle / \Omega_0^2$  ОМП  $\vec{l}_m$  (27) можно получить из (25), где следует считать

$$\begin{aligned} z_1^2 &= \mu_0 [q_0 - \ln(1 + q_0)]^2 / q_0^2 = z_\gamma^2, \\ z_2^2 &= \mu_0 [(1 + q_0) \ln(1 + q_0) - q_0]^2 / q_0^2, \\ R &= [\ln(1 + q_0) - q_0/(1 + q_0)] \times \\ &\quad \times (1 + q_0)^2 [q_0 - \ln(1 + q_0)]^{-1}. \end{aligned} \quad (38)$$

С учетом этих выражений нормированные смещение  $b_{mp} = \langle \mu_m - \mu_0 \rangle / \mu_0$  и рассеяние  $V_{mp} = \langle (\mu_m - \mu_0)^2 \rangle / \mu_0^2$  ОМП  $\mu_m$  (29) можно определить из (26). Отсюда следует, что в условиях высокой апостериорной точности (37) характеристики совместных ОМП  $\vec{l}_m$  (27) при неизвестной величине  $\gamma_0$  совпадают с характеристиками ОМП  $\vec{l}_{m0}$  (6) при известном  $\gamma_0$ , т.е. незнание величины  $\gamma_0$  асимптотически не влияет на точность ОМП, но приводит к усложнению алгоритма оценки.

Отметим также, что отношения  $\chi_d$ ,  $\chi_p$  и  $\chi_\mu$ , зависимости которых от величины  $\eta = \gamma^*/\gamma_0$  показа-

ны на рис. 2, являются также отношениями рассеяний КПО  $\vec{l}_q$  (7),  $\mu_q$  (9) к соответствующим рассеяниям ОМП  $\vec{l}_m$  (27),  $\mu_m$  (29) и характеризуют выигрыши в точности ОМП (27), (29) по сравнению с КПО (7), (9) при неизвестной величине  $\gamma_0$  спектральной плотности (2).

Приведенные результаты получены при поддержке Российского фонда фундаментальных исследований.

## СПИСОК ЛИТЕРАТУРЫ

1. Ван-Трис, Гарри Л. Теория обнаружения, оценок и модуляции. М.: Сов. радио, 1977. Т. 3.
2. Фалькович С.Е., Хомяков Э.Н. Статистическая теория измерительных радиосистем. М.: Радио и связь, 1981.
3. Трифонов А.П., Нечаев Е.П., Парфенов В.И. Обнаружение стохастических сигналов с неизвестными параметрами. Воронеж: Изд-во Воронеж. ун-та, 1991.
4. Трифонов А.П., Захаров А.В. // Изв. вузов. Радиоэлектроника. 1988. Т. 31. № 1. С. 24.
5. Трифонов А.П., Парфенов В.И. // Изв. вузов. Приборостроение. 1986. Т. 29. № 7. С. 7.
6. Трифонов А.П., Нечаев Е.П. // Изв. вузов. Приборостроение. 1988. Т. 31. № 12. С. 3.
7. Трифонов А.П., Нечаев Е.П. // Изв. вузов. Приборостроение. 1987. Т. 30. № 11. С. 7.
8. Тихонов В.И. Статистическая радиотехника. М.: Радио и связь, 1982.
9. Трифонов А.П., Захаров А.В. // Изв. вузов. Радиоэлектроника. 1986. Т. 29. № 4. С. 36.
10. Тихонов В.И., Миронов М.А. Марковские процессы. М.: Сов. радио, 1977.
11. Kailath T. // IEEE Trans. 1966. V. IT-12. № 4. P. 442.
12. Терентьев А.С. // РЭ. 1968. Т. 13. № 4. С. 652.
13. Трифонов А.П., Шинаков Ю.С. Совместное различие сигналов и оценка их параметров на фоне помех. М.: Радио и связь, 1986.